

МОСКОВСКИЙ ФИЗИКО-ТЕХНИЧЕСКИЙ ИНСТИТУТ  
(НАЦИОНАЛЬНЫЙ ИССЛЕДОВАТЕЛЬСКИЙ УНИВЕРСИТЕТ)

## **Лабораторная работа 3.6.1**

Спектральный анализ электрических сигналов

Выполнил:

Гисич Арсений

Б03-102

Долгопрудный

2022

# 1 Аннотация

В работе изучается спектральный состав периодических электрических сигналов различной формы: последовательности прямоугольных импульсов, последовательности цугов и амплитудно модулированных гармонических колебаний. Спектры этих сигналов наблюдаются с помощью промышленного анализатора спектра и сравниваются с рассчитанными теоретически.

## 2 Теоретические сведения

Представление периодического сигнала в виде суммы гармонических сигналов называется разложением в ряд Фурье.

Пусть заданная функция  $f(t)$  периодически повторяется с частотой  $\Omega_1 = \frac{2\pi}{T}$ , где  $T$  — период повторения. Ее разложение в ряд Фурье имеет вид

$$f(t) = \frac{a_0}{2} + \sum_{n=1}^{\infty} [a_n \cos(n\Omega_1 t) + b_n \sin(n\Omega_1 t)]$$

Здесь  $\frac{a_0}{2}$  — среднее значение функции  $f(t)$ ,

$$a_n = \frac{2}{T} \int_{t_1}^{t_1+T} f(t) \cos(n\Omega_1 t) dt,$$

$$b_n = \frac{2}{T} \int_{t_1}^{t_1+T} f(t) \sin(n\Omega_1 t) dt.$$

Рассмотрим периодические функции, которые исследуются в нашей работе.

**Периодическая последовательность прямоугольных импульсов** (рис. 1) с амплитудой  $V_0$ , длительностью  $\tau$ , частотой повторения  $\Omega_1 = \frac{2\pi}{T}$ , где  $T$  — период повторения импульсов. Найдем коэффициенты разложения ряда Фурье:

$$\frac{a_0}{2} = V_0 \frac{\tau}{T},$$

$$a_n = \frac{2}{T} \int_{-\frac{\tau}{2}}^{\frac{\tau}{2}} V_0 \cos(n\Omega_1 t) dt = 2V_0 \frac{\tau}{T} \frac{\sin(n\Omega_1 \frac{\tau}{2})}{n\Omega_1 \frac{\tau}{2}} \sim \frac{\sin x}{x}.$$

Поскольку наша функция четная, все коэффициенты синусоидальных гармоник  $b_n = 0$ . Спектр  $a_n$  последовательности прямоугольных импульсов представлен на рис. 2 (изображен случай, когда  $T$  кратно  $\tau$ ).

Назовем *шириной спектра*  $\Delta\omega$  расстояние от главного максимума ( $\omega = 0$ ) до первого нуля огибающей, возникающего при  $n = \frac{2\pi}{\tau\Omega_1}$ . При этом

$$\Delta\omega\tau \simeq 2\pi$$

или

$$\Delta\nu\Delta t \simeq 1$$

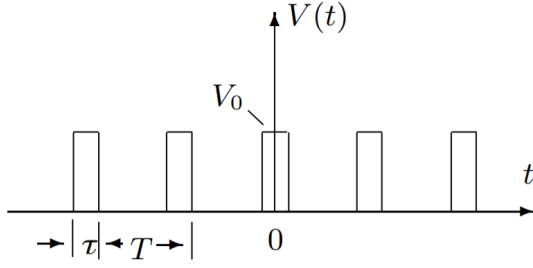


Рис. 1: Прямоугольные импульсы

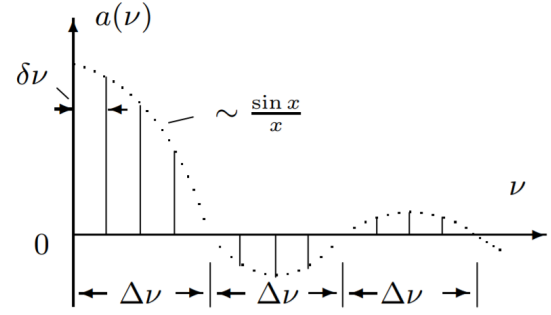


Рис. 2: Спектр последовательности прямоугольных импульсов

Полученное соотношение взаимной связи интервалов  $\Delta \nu$  и  $\Delta t$  является частным случаем соотношения неопределенности в квантовой механике.

**Периодическая последовательность цугов** гармонического колебания  $V_0 \cos(\omega_0 t)$  с длительностью цуга  $\tau$  и периодом повторения  $T$  (рис. 3).

Функция  $f(t)$  снова является четной относительно  $t = 0$ . Коэффициент при  $n$ -й гармонике равен

$$a_n = \frac{2}{T} \int_{-\frac{\tau}{2}}^{\frac{\tau}{2}} V_0 \cos(\omega_0 t) \cos(n\Omega_1 t) dt = V_0 \frac{\tau}{T} \left( \frac{\sin[(\omega_0 - n\Omega_1)\frac{\tau}{2}]}{(\omega_0 - n\Omega_1)\frac{\tau}{2}} + \frac{\sin[(\omega_0 + n\Omega_1)\frac{\tau}{2}]}{(\omega_0 + n\Omega_1)\frac{\tau}{2}} \right)$$

Зависимость для случая, когда  $\frac{T}{\tau}$  равно целому числу, представлена на рис. 4. Сравнивая спектр последовательности прямоугольных импульсов и цугов мы видим, что они аналогичны, но их максимумы сдвинуты по частоте на величину  $\omega_0$ .

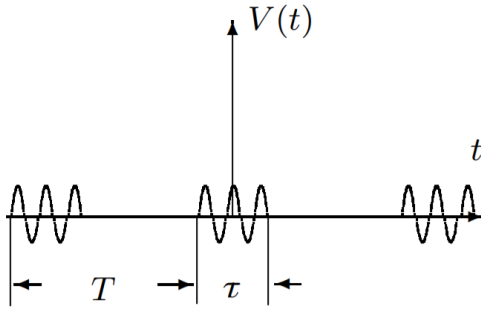


Рис. 3: Последовательность цугов

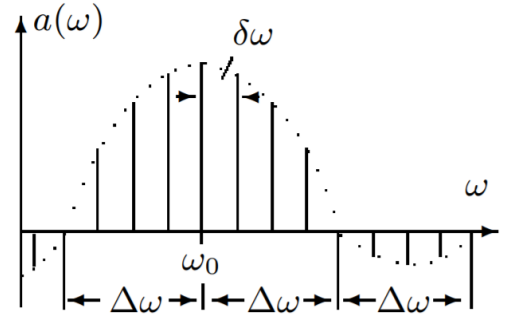


Рис. 4: Спектр последовательности цугов

**Амплитудно-модулированные колебания.** Рассмотрим гармонические колебания высокой частоты  $\omega_0$ , амплитуда которых медленно меняется по гармоническому закону с частотой  $\Omega$  ( $\Omega \ll \omega_0$ ) (рис. 5):

$$f(t) = A_0[1 + m \cos \Omega t] \cos \omega_0 t.$$

Коэффициент  $m$  называют **глубиной модуляции**. При  $m < 1$  амплитуда колебаний меняется от минимальной  $A_{min} = A_0(1 - m)$  до максимальной  $A_{max} = A_0(1 + m)$ . Глубина модуляции может быть представлена в виде

$$m = \frac{A_{max} - A_{min}}{A_{max} + A_{min}}$$

Простым тригонометрическим преобразованием можно найти спектр амплитудно-модулированных колебаний:

$$f(t) = A_0 \cos(\omega_0 t) + \frac{A_0 m}{2} \cos(\omega_0 + \Omega)t + \frac{A_0 m}{2} \cos(\omega_0 - \Omega)t.$$

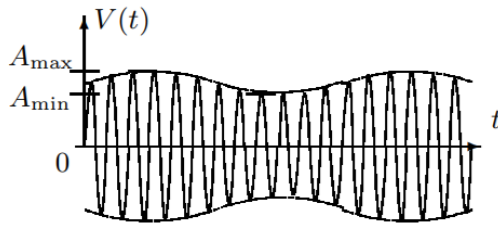


Рис. 5: Модулированные гармонические колебания

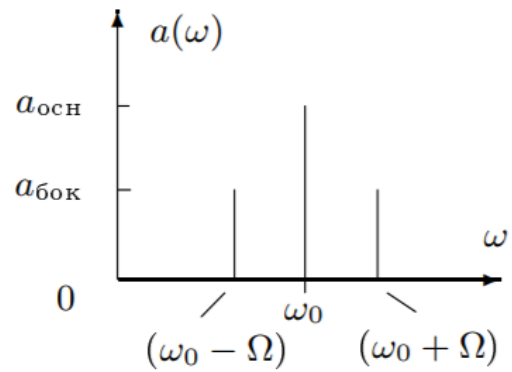


Рис. 6: Спектр модулированных гармонических колебаний

Спектр таких колебаний содержит три составляющих: основную компоненту и две боковых (рис. 6). Первое слагаемое в правой части представляет собой исходное немодулированное колебание с основной (несущей) частотой  $\omega_0$  и амплитудой  $a_{осн} = A_0$ . Второе и третье слагаемые соответствуют новым гармоническим колебаниям с частотами  $\omega_0 + \Omega$  и  $\omega_0 - \Omega$ . Амплитуды этих двух колебаний одинаковы и составляют  $\frac{m}{2}$  от амплитуды немодулированного колебания:  $a_{бок} = \frac{A_0 m}{2}$ . Начальные фазы всех трех колебаний одинаковы.

### 3 Методика измерений

1. **Экспериментальная установка А** для исследования спектра периодической последовательности прямоугольных импульсов представлена на рис. 7. Сигнал с выхода генератора прямоугольных импульсов Г5-54 подается на вход анализатора спектра и одновременно на вход Y осциллографа. С генератора импульсов на осциллограф подается также сигнал синхронизации, запускающий ждущую развертку осциллографа. При этом на экране осциллографа можно наблюдать саму последовательность прямоугольных импульсов, а на экране ЭЛТ анализатора спектра распределение амплитуд спектральных составляющих этой последовательности.
2. **Экспериментальная установка Б** для исследования спектра периодической последовательности цугов гармонических колебаний (рис. 8) Генератор Г6-34 вырабатывает синусоидальные колебания высокой частоты. На вход АМ (амплитудная модуляция) генератора Г6-34 подаются прямоугольные импульсы с генератора Г5-54 и синусоида модулируется — "нарезается" на отдельные куски — цуги. Эти цуги с выхода генератора Г6-34 поступают на вход спектроанализатора и одновременно на вход Y осциллографа. Сигнал синхронизации подается на осциллограф с генератора импульсов.

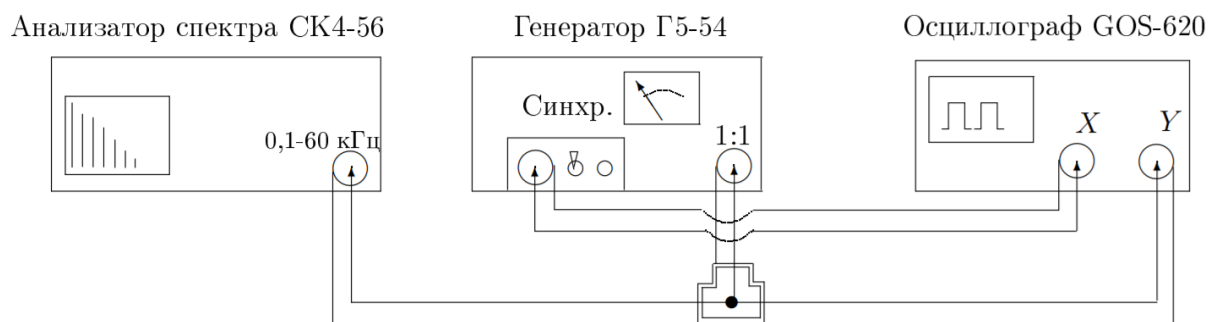


Рис. 7: Схема для исследования спектра периодической последовательности прямоугольных импульсов

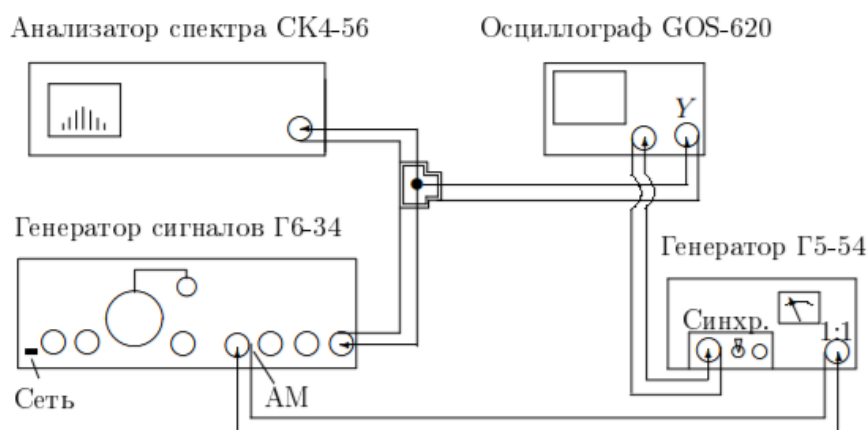


Рис. 8: Схема для исследования спектра периодической последовательности цугов высокочастотных колебаний

3. **Экспериментальная установка В** для исследования амплитудно-модулированного сигнала (рис. 9). В генератор сигналов встроен модуляционный генератор, который расположен в левой части Г6-34. Синусоидальный сигнал с частотой модуляции  $f_{\text{мод}} = 1$  кГц подается с модуляционного генератора на вход АМ (амплитудная модуляция) генератора, вырабатывающего синусоидальный сигнал высокой частоты (частота несущей  $\nu_0 = 25$  кГц). Амплитудно-модулированный сигнал с основного выхода генератора поступает на осциллограф и на анализатор спектра.

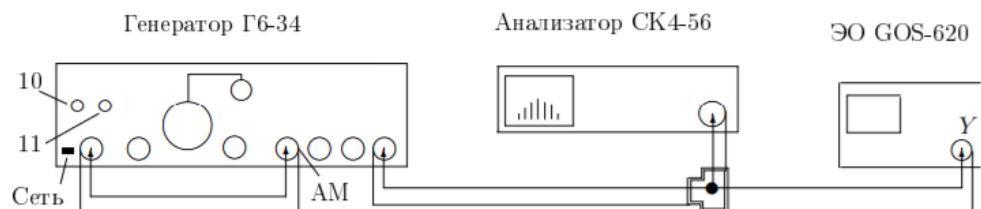


Рис. 9: Схема для исследования спектра высокочастотного гармонического сигнала, промодулированного по амплитуде низкочастотным гармоническим сигналом

## 4 Используемое оборудование

1. анализатор спектра;
2. генератор прямоугольных импульсов и сигналов специальной формы;
3. осциллограф;

## 5 Результаты измерений и обработка данных

Параметры установки:

$$L = 26,5 \text{ см}$$

$$SN = 3000 \text{ см}^2$$

$$U_A = 1,230 \pm 0,025 \text{ кВ}$$

| $I, A$ | $\sigma_I, A$ | $\Phi, мВб$ | $\sigma_\Phi, мВб$ | $B, мТл$ | $\sigma_B, мТл$ |
|--------|---------------|-------------|--------------------|----------|-----------------|
| 0      | 0,005         | 0           | 0,05               | 0        | 0,2             |
| 1,000  | 0,005         | 1,10        | 0,05               | 3,7      | 0,2             |
| 1,500  | 0,005         | 1,60        | 0,05               | 5,3      | 0,2             |
| 2,000  | 0,005         | 2,10        | 0,05               | 7,0      | 0,2             |
| 2,500  | 0,005         | 2,60        | 0,05               | 8,7      | 0,2             |
| 3,000  | 0,005         | 3,10        | 0,05               | 10,3     | 0,2             |
| 3,500  | 0,005         | 3,80        | 0,05               | 12,7     | 0,2             |
| 4,000  | 0,005         | 4,20        | 0,05               | 14,0     | 0,2             |
| 4,500  | 0,005         | 4,50        | 0,05               | 15,0     | 0,2             |

Таблица 1: Результаты измерений калибровочной кривой при прямом направлении тока

## 6 Обсуждение результатов и выводы

В данной работе был измерен удельный заряд электрона методами магнитной фокусировки и магнетрона. Результаты измерений:

|   |
|---|
| $1,6 \pm 0,1 \cdot 10^{11} \text{ Кл/кг}$ — метод магнитной фокусировки |
| $1,9 \pm 0,1 \cdot 10^{11} \text{ Кл/кг}$ — метод магнетрона            |

Полученные результаты согласуются в пределах погрешности с табличным значением —  $1,76 \cdot 10^{11} \text{ Кл/кг}$ . В методе магнитной фокусировки основной вклад в погрешность вносит погрешность определения коэффициента зависимости  $B_\phi(n)$ . Вероятно, при более точной настройке фокусировки осциллографа можно более точно определить точки фокуса. В методе магнетрона основным источником погрешности является погрешность определения  $B_{кр}$ , так как низкая чувствительность амперметров не позволяет получить достаточно точек на кривой падения  $I_A$  и хорошо промерить эту зависимость. При использовании более чувствительных измерительных приборов можно получить больше точек на этой кривой и, следовательно, точнее определить точки  $B_{кр}$ .